

電氣泳動法을 利用한 고추炭疽病菌의 分類

朴元穆 · 朴相鎬 · 李鎔世 · 高榮嬉 · 趙義奎 *

高麗大學校 農科大學 植物保護學科

*農村振興廳 農業技術研究所 病理科

Differentiation of *Colletotrichum* spp. Causing Anthracnose on *Capsicum annum* L. by Electrophoretic Method

Won Mok Park, Sang Ho Park, Yong Se Lee, Young Hee Ko and Eui Kyoo Cho*

Department of Plant Protection, College of Agriculture, Korea University, Seoul 132, Korea

*Department of Plant Pathology, Institute of Agricultural Sciences, Rural Development Administration, Suwon 170, Korea

要 約

本實驗은 電氣泳動法에 의하여 炭疽病菌의 種分類를 하였다. 고추炭疽病菌인 *Colletotrichum gloeosporioides*, *C. dematum* 과 사과炭疽病菌 *Gloeosporium fructigenum* 은 esterase, leucine aminopeptidase, acid phosphatase 와 glutamic oxaloacetic transaminase 同位酵素에 의해 구분되었다. 특히 *C. gloeosporioides* 의 G와 R-strain 이 酵素 pattern에 의해 구분되었다. G-strain은 고추의 모든 열매(푸른고추, 붉은고추)를 침해하나, R-strain은 단지 붉은고추를 침해하고 푸른고추는 침해하지 않는다.

ABSTRACT

The present researches were carried out to differentiate the species of *Colletotrichum* by electrophoretic method. *C. gloeosporioides*, *C. dematum* and *Gloeosporium fructigenum* could be differentiated by the isozyme patterns of esterase, leucine aminopeptidase, acid phosphatase and glutamic oxaloacetic transaminase. Especially, G-strain and R-strain of *C. gloeosporioides* were differentiated by the enzyme patterns. The G-strain damaged all stage fruits (green and red fruits) of *Capsicum annum*. The R-strain could not infect the unripe (green) fruits, but it could damage only ripe (red) fruit of *Capsicum annum*.

Key words: isozyme patterns, *Colletotrichum gloeosporioides*, *C. dematum*, *Gloeosporium fructigenum*.

緒 論

고추炭疽病은 우리나라 고추栽培에 重要한 痘으로서 지금까지는 붉은고추에만 發生되는 것으로 알리져 왔으나 最近 中部地方에서 푸른고추에도 發生하여 큰 피해를 주고 있다.

고추炭疽病菌은 分類學上 完全世代는 *Glomerella cingulata* 로서 不完全世代는 *Gloeosporium piperatum* 또는 *Colletotrichum nigrum* 等의 異名으로 命名되어 왔다. 最近에는 *Colletotrichum gloeosporioides*로 통합하는 것이 타당한 것으로 報告된 바 있다(17). *Colletotrichum gloeosporioides* 菌 중에는 어린 푸른고추부터 붉은고추에 이르기까지 痘原性을 나타내는

菌株(G-strain)와 黑은고추에만 病原性을 나타내는菌株(R-strain)로 나눌 수 있다. 이 계통간에는 病原性 뿐만아니라 菌學의in 特性에도 차이가 있음이報告된 바 있다(9). 또한 完全世代가 밝혀지지 않은 고추 炭疽病菌으로 *Colletotrichum dematium* f. sp. *capsicum* 도 報告된 바 있다(4). 고추이외에 사과에서 炭疽病을 일으키는 病原菌은 *Glomerella cingulata*로서 不完全世代는 *Gloeosporium fructigenum*이다.

이러한 炭疽病菌의 分類는 주로 形態的 特性인 胞子의 形態, 刷毛의 有·無, 菌絲의 培地上에서의 모양 및 寄主에 對한 病原性에 의존하여 왔다. 그러나 이와같은 特性만으로는 分類에 혼돈을 가져오므로 病菌名을 밝히는데 오류를 범하기 쉽고, 또한 菌株間의 遺傳的 類緣關係를 밝히기에는 어려움이 많다. 따라서 形態的in 面뿐만아니라 生化學的 方法으로 고추 炭疽病菌의 特性을 밝히는 것이 重要하리라 생각된다.

電氣泳動法은 gel 上의 同位酵素 位置와 數等에 의하여 昆蟲(10), 細菌(1) 및 貨菌(8, 12, 14)의 分類와 遺傳研究에서 좋은 結果를 얻고 있다.

本 實驗은 이러한 電氣泳動法을 利用하여 고추 炭疽病菌인 *C. gloeosporioides*의 G와 R-strain, *C. dematum* 및 사과 炭疽病菌인 *G. fructigenum*의 炭疽病菌이同一한 菌인지 혹은 菌株間에 遺傳的으로 어느정도 類緣關係가 있는가를 밝힘으로서 本 病菌의 分類 및 조기진단에 利用하고자 실시하였다.

材料 및 方法

菌株 本 實驗에 使用한 菌株는 農村振興廳 農業技術研究所 病理科에서 分양받았다. 고추 炭疽病菌은 *Colletotrichum gloeosporioides*의 G-strain(4個菌株)과 R-strain(4個菌株), *C. dematum* 및 사과 炭疽病菌 *Gloeosporium fructigenum*였다(표 1).

孢子形態觀察. 菌株를 감자한천배지에서 27°C로 2주간 배양後 현미경(1000X)으로 胞子의 모양을 觀察하였다.

電氣泳動材料抽出. Modified Czaeck dox medium 50ml을 담은 250ml 삼각flask에 菌絲전편을 接種한 後 26°C 항온기에서 1주일간 진탕배양하였다.

Modified Czaeck dox medium은 NaNO₃ 1.0g, K₂HPO₄ 1.0g, MgSO₄·7H₂O 0.5g, KCl 0.5g, peptone 5.0g, yeast-extract 1.5g, malt-extract

Table 1. Collected areas of pepper anthracnose, *Colletotrichum gloeosporioides* (G and R-strain)^a, *C. dematum* and apple anthracnose, *Gloeosporium fructigenum*.

Fungus	Isolate No.	Location
<i>C. gloeosporioides</i>	G1	Suweon
	G2	Suweon
	G3	Jincheon
	G4	Cheonweon
	R1	Suweon
	R11	Suweon
	R12	Chungju
	C21	Suweon
<i>C. dematum</i>	-	Suweon
<i>G. fructigenum</i>	-	Suweon

^a G-strain: isolates to cause anthracnose both on green and red fruits of pepper.

R-strain: isolates to cause anthracnose only on red fruits of pepper.

10.0g, CuSO₄·5H₂O 0.005g, FeSO₄ 0.01g, ZnSO₄·7H₂O 0.01g, 증류수 1000ml였다.

배양後 菌絲體를 Buchner funnel 을 이용하여 filter paper (Whatman No. 3)로 거른 後 0.1M Tris-HCl buffer (pH 7.5)로 세척하여 수집하였다. 本菌絲體에 生體重의 2배의 buffer 를 첨가하여 4°C에서 유발을 使用 마쇄하였다. 이것을 냉동고속원심분리기를 이용하여 4°C에서 12,000 g로 30 분간 원심분리 後 상등액을 취하여 電氣泳動材料로 使用하였다.

단백질 含量은 Lowry 等의 方法에 의하여 測定하였다(11).

電氣泳動法. Panta phor system(15)을 使用하였다. 10-25% polyacrylamide porosity gradient slab gel 을 使用하였고 continuous buffer system으로 gel buffer 와 tray buffer 는 0.125M Tris-borate buffer pH 8.9를 使用하였다. slot 當 sample 은 100 μl을 넣었고 電氣泳動은 10°C에서 400 Volt로 20時間 하였다.

發色法. 電氣泳動이 끝난 後 gel 을 꺼내어 觀察하고자 하는 酵素種類에 따라 다음과 같이 發色하였다.

Protein: gel 을 發色液(800ml H₂O, 200ml methanol, 70ml acetic acid, 60g Trichloroacetic acid 혼합용액에 1% Coomassie brilliant blue R 250 을 40:1로 섞음)에 침적하여 4時間 경과 後 탈색액(H₂O : methanol : acetic acid = 14:6:1)에 24時間 이상 침적하였다(15).

Esterase: gel 을 0.1M Tris-HCl buffer (pH

7.2)에 30分間 buffer를 2회 잘아 주면서 침식하여 gel의 산도를 조절後發色液(α -naphthylacetate 60mg, acetone 1.2mℓ, Fast blue RR salt 70mg, 0.1M Tris-HCl buffer(pH 7.2) 120mℓ)에 35°C에서 침적하여 band가 명확하여 질때까지 약 30分間發色하였다(5).

Leucine aminopeptidase (LAP): gel을 Tris-malate buffer(pH 5.4)에 15分間 침적하여 gel의 산도를 조절後發色液(Tris-malate buffer(pH 5.4) 50mℓ, 증류수 50mℓ, Fast Black K salt 15mg, L-leucyl- β -naphthylamide HCl 20mg)에 37°C로 30分間 어두운 곳에서發色하였다(7).

Acid phosphatase: gel을 0.1M acetate buffer(pH 5.2)에 약 30分間 침적하여 gel의 산도를 조절後發色液(α -naphthyl-phosphate 80mg, Fast Garnet GBC salt 70mg, 10% MgCl₂ 용액 6mℓ, 0.1M acetate buffer(pH 5.2) 100mℓ)에 gel을 넣어 37°C에서 약 30分間發色하였다(5).

Glutamic oxaloacetic transaminase (GOT): gel을 0.1M Tris-HCl buffer(pH 8.0)로 15분간 침적하여 gel의 산도를 조절後發色液(L-aspartic acid 0.4g, fast blue BB salt 0.3g, α -ketoglutaric acid 0.2g, pyridoxal-5-phosphate 1.0mg, Tris-HCl buffer(pH 8.0) 100mℓ)에 37°C에서 30分間發色하였다(5).

類似度指數, esterase와 leucine aminopeptidase의同位酶表現型에 의하여 Stout(16)方式으로類似度指數를 구하였다.

$$\text{類似度指數}(\%) = \frac{\text{同一 band 数}}{\text{總 band 数}} \times 100$$

結 果

胞子形態觀察. 附株別胞子의形態를 관찰하였던 바고추炭疽病菌인 *Colletotrichum gloeosporioides*의胞子 모양은 매우 비슷한 원통형 혹은 타원형으로 G-strain은 대부분 한쪽 끝이 좁고 모나거나 둥글고 크기가 14.8 × 4.0 μm 인대 반하여 R-strain은 양쪽 끝이 무디고 둥글며 크기가 16.2 × 5.1 μm 였다. *C. dematioides*은 초생단성이었고 사과炭疽病菌인 *G. fructigenum*은 타원형의胞子形態를 지니고 있었다(그림 1).

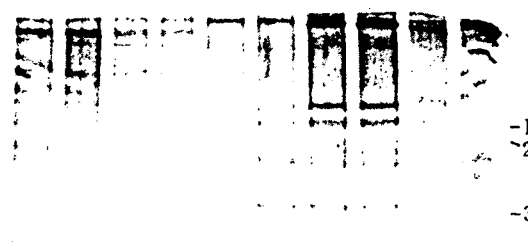
Protein pattern. 可溶性 protein pattern은 *C.*

*gloeosporioides*의 G와 R-strain, *G. fructigenum* 및 *C. dematioides*은 major band가 서로 달랐으며 또한 G-strain은 1, 4번, R-strain은 3, 10번 band에서 크게 차이가 났다(그림 2).

Esterase 同位酵素 pattern. *C. gloeosporioides* G strain 의 특징적인 band 는 5 個로 2, 5, 8, 9, 12° 었으며 R-strain 의 공통적인 band 는 2, 3, 6, 7, 16였으나 R1, R20 과 R10, R11 의 菌株間에는 9, 10번 band 에서 차이가 있었다. *G. fructigenum* 은 3, 7, 11, 16의 4 個 band 를 지닌 반면 *C. dematium* 은 1, 4, 7, 11, 15에서 band 가 있었다(그림 3).

Fig. 1. Microscopy of spores of *Colletotrichum* spp. and *G. fructigenum*.

- 1: spore of *C. gloeosporioides* (G-strain),
- 2: spore of *C. gloeosporioides* (R-strain),
- 3: spore of *C. dematium*,
- 4: spore of *G. fructigenum*.



4-

1 2 3 4 5 6 7 8 9 10

Fig. 2. Buffer soluble protein patterns of *Colletotrichum* spp. on 10-25% polyacrylamide porosity gradient slab gel.

- 1,2,3,4: *C. gloeosporioides* G-strain (G1, G2, G3, G4)
- 5,6,7,8: *C. gloeosporioides* R-strain (R1, R20, R11, R12)
- 9: *G. fructigenum*
- 10: *C. dematium*.

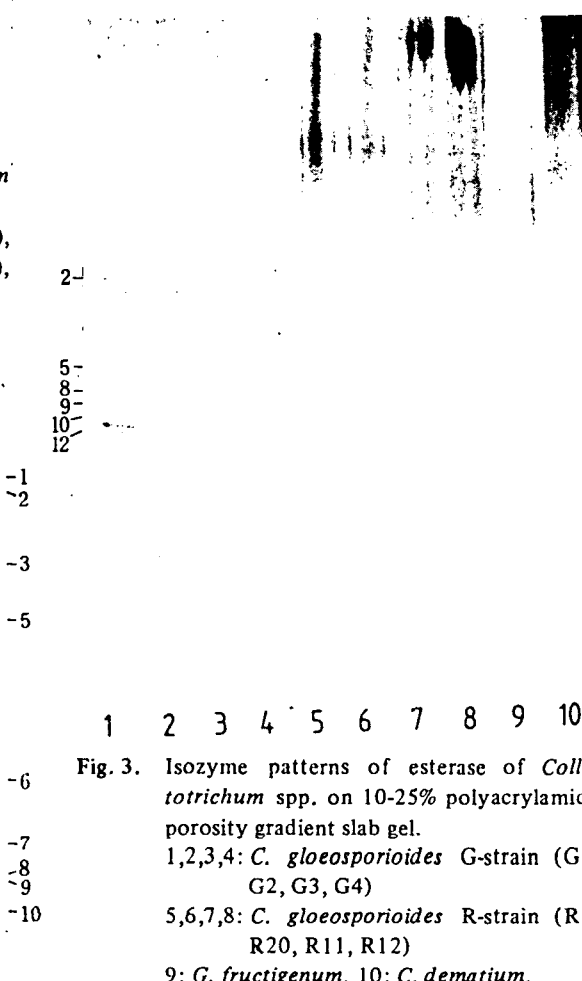


Fig. 3. Isozyme patterns of esterase of *Colletotrichum* spp. on 10-25% polyacrylamide porosity gradient slab gel.
1,2,3,4: *C. gloeosporioides* G-strain (G1, G2, G3, G4)
5,6,7,8: *C. gloeosporioides* R-strain (R1, R20, R11, R12)
9: *G. fructigenum*, 10: *C. dematium*.

Leucine amino peptidase 同位酵素 pattern. G-strain 에서는 2, 3, 7의 공통적인 3 個 band 가 있었으며 R-strain 은 1, 3, 5, 6의 4 個 band 를 나타낸 반면 1, 3번 band 에 의하여 R1, R20 과 R11, R12 菌株間에 차이가 있었다. *G. fructigenum* 은 1, 3, 5, 6 band 를 나타내었고 *C. dematium*은 1, 3, 5의 3 個 band 를 보였다(그림 4).

Fig. 4. Isozyme patterns of leucine amino peptidase (LAP) of *Colletotrichum* spp. on 10-25% polyacrylamide porosity gradient slab gel.
 1,2,3,4: *C. gloeosporioides* G-strain G1,
 G2, G3, G4)
 5,6,7,8: *C. gloeosporioides* R-strain R1,
 R20, R11, R12)
 9: *G. fructigenum*, 10: *C. dematium*.

Table 2. Coefficient of similarity of esterase and leucine aminopeptidase isozyme bands among isolates of *Colletotrichum* spp.

G1 ^a	G2	G3	G4	R1	R11	R12	R20	C21	G.f
G1	100 ^b	100	100	4.5	4.7	4.7	4.5	17.6	21.4
G2		100	100	4.5	4.7	4.7	4.5	17.6	21.4
G3			100	4.5	4.7	4.7	4.5	17.6	21.4
G4				4.5	4.7	4.7	4.5	17.6	21.4
R1					78.5	78.5	100	5.0	33.3
R11						100	78.5	4.7	26.6
R12							78.5	4.7	26.6
R20								5.0	33.3
C21									13.3
G.f									

^aG : G-strain of *C. gloeosporioides*,
 R : R-strain of *C. gloeosporioides*,
 C : *C. dematium*,
 G.f : *Gloeosporium fructigenum*

^bCoefficient of similarity (%) = $\frac{\text{same bands}}{\text{total bands}} \times 100$

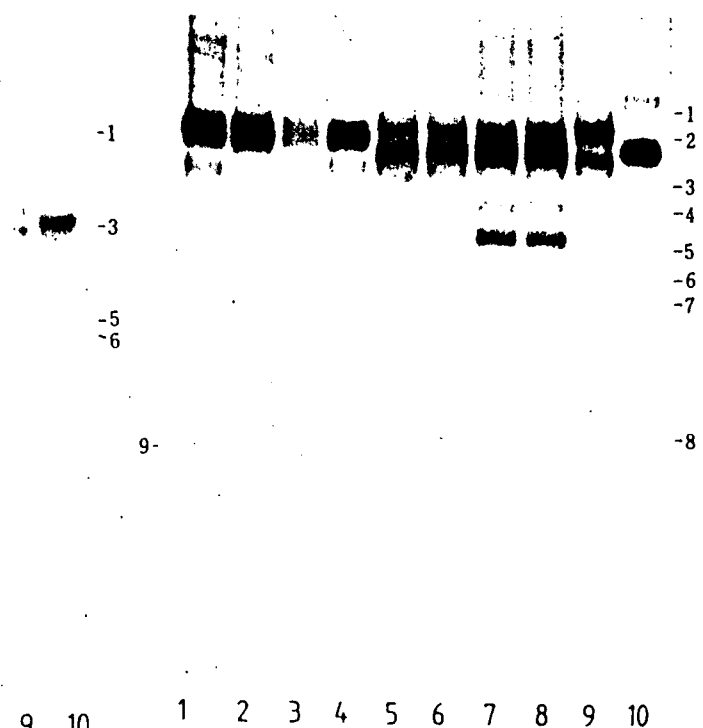
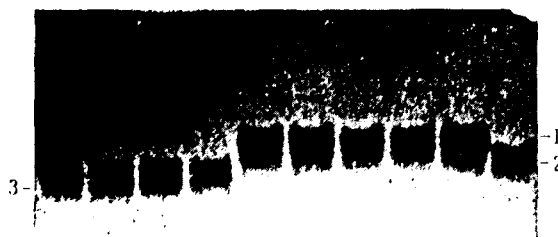


Fig. 5. Isozyme patterns of acid phosphatase of *Colletotrichum* spp. on 10-25% polyacrylamide porosity gradient slab gel.
 1,2,3,4: *C. gloeosporioides* G-strain (G1,
 G2, G3, G4)
 5,6,7,8: *C. gloeosporioides* R-strain (R1,
 R20, R11, R12)
 9: *G. fructigenum* 10: *C. dematium*.

Fig. 6. Isozyme patterns of glutamic oxaloacetic transaminase (GOT) of *Colletotrichum* spp. on 10-25% polyacrylamide porosity gradient slab gel.

1,2,3,4: *C. gloeosporioides* G-strain (G1, G2, G3, G4)
5,6,7,8: *C. gloeosporioides* R-strain (R1, R20, R11, R12)
9: *C. fructigenum*, 10: *C. dematium*.

Acid phosphatase 同位酵素 pattern. G-strain ? 2, 3, 4의 강동작인 band 가 나타나었고 R-strain ? 2, 3, 4, 5, 8의 강동작인 band 가 나타나었고, *G. fructigenum* ? 2, 5, 6, 8의 band 가 나타나었고 *C. dematium* ? 1, 3, 6의 band 가 나타났다 (그림 5).

Glutamic oxaloacetic transaminase 同位酵素 pattern. G-strain ? 3의 band 가 강동작으로 나타나었고 R-strain과 *G. fructigenum* ? 1의 band ? *C. dematium* ? 2의 band 가 나타나았다 (그림 6).

類似度指數. G-strain의 菌株은 서로 同位酵素 pattern이同一하여 100%의 類似度指數를 나타낸다. R-strain 菌株間에 R1과 R20 ? 100% 이었고 또한 R11과 R12間에도 100%의 類似度

指數를 나타내었으나 R1, R20과 R11, R20間에는 78.5%였다. 그러나 G-strain과 R-strain間에는 類似度指數가 4.5~4.7%로 매우 낮았다. *C. gloeosporioides*, *G. fructigenum* 및 *C. dematium*間에는 각각 17.6%, 21.4~33.3%의 낮은 類似度指數를 보았다(표 2).

考 索

電気泳動法은 protein과 同位酵素은 gel上의 位置, 有無, 數量 等의 變化에 의하여 菌의 分類에 利用되어 이에 使用되는 酶有 esterase(8, 12), malate dehydrogenase(2), catalase(3), leucine aminopeptidase(12), phosphatase(8, 12) 等이 주로 利用되고 있다.

植物의 種分類에 있어서는 Nealon과 Garber(12)에 의한 *Aspergillus* spp., Hall 등(8)의 *Phytophthora* spp., Sinder와 Krinner(14)의 *Taphrina* spp. 및 Pelletier와 Hall(13)에 의한 *Verticillium* 속의 研究되었고 病原性과 친원적 race 및 some species에 관하여는 Bonde 등(2)에 의한 *Peronosclerospora* spp., Burdon과 Roelfs(3)의 *Puccinia* spp., Gill과 Powell(6)의 *Phytophthora fragariae* 속의 研究되었다. 하지만 病原性과 친원적 race는 아직 미진하여 상세한 報告가 있다.

本 試驗은 通하여 菌의 고유의 특은 고려에서 分離된 菌은 미숙胞子의 形態는 비슷하기만 (그림 1) 同位酵素과 protein pattern으로 보아서 서로 貨物의 으로 다른 識別은 할 수 있었고 *G. fructigenum*과 *C. dematium*과는 다음과 같은 점을 알 수 있었다.

Pelletier 등(13)은 *Verticillium* spp.에서 다른 種間에는 protein의 質과 量이 다른 것과 报告한 바 있고 Hall 등(8)은 *Phytophthora* spp.에서 protein과 esterase 同位酵素 pattern은 조사한 것과 같은 種에서는 같은 protein pattern은 있었으나 esterase에서는 같은 種內에서도 다른 形態를 보이며, 그동 일정이나 種內로나 種間의 差異를 报告하였다.

*C. gloeosporioides*와 G와 R-strain의 protein pattern에서 같은 band pattern이 있었으며 이를 바탕으로 *G. fructigenum*과 *C. dematium*과는 다른 band pattern은 보여 여러 著者들이 報告한 (8, 12, 14) 種間의 차이점을 나타낸 것과一致한다.

Esterase 와 LAP 同位酵素 pattern 에서도 G 와 R-strain 間을 구분할 수 있었으며 또한 acid phosphatase 및 GOT pattern 에서도 같은 경향을 나타내었다. 金 等(9)에 의하면 *C. gloeosporioides*의 G 와 R-strain 은 病原性이 다르다고 報告한 바 있다. esterase 同位酵素 pattern 에서 G-strain 的 3個의 major band 와 R-strain 的 4個의 band 는 이들 두 strain 的 차이를 잘 나타내어 준다(그림 3).

Esterase 와 LAP 를 使用한 類緣關係를 살펴보면 G 群은 100 % 및 R 群의 100 - 78.5 % 的 類緣關係를 나타낸 반면, G 와 R-strain 은 4.7 % 的 아주 낮은 關係를 보았다. *C. gloeosporioides* 는 *C. dematum* 과는 4.7 - 17.6 %, *G. fructigenum* 과는 21.4 % 的 類緣關係를 나타내어 이들 種은 胞子의 形態뿐만 아니라 遺傳的으로 상당한 차이가 있음을 알 수 있다. 따라서 類似度指數에 의해서도 *C. gloeosporioides* 種內의 病原性이 다른 G 와 R-strain 이 同位酵素 pattern 에 의해 완전히 구별되었다. 즉 G 와 R-strain 은 4.7 % 的 낮은 類緣關係를 보여 病原性, 培養의 特性 및 同位酵素 pattern 을 고려해 볼 때는 變異하기 보다는 種의 수준에서 생각해 볼 수 있는 다른 菌이 아닌가 料된다. R-strain 内에 약간의 病原性의 차이가 存在함은 同位酵素 pattern 에 의해서도 구분되었다. GOT 에 대해서는 구분이 되지 않았지만 R1, R20 과 R11, R12 의 두 群은 esterase 와 acid phosphatase 同位酵素 pattern 에서 가장 잘 나타났다. 이들 同位酵素 pattern 은 菌의 分類에 있어서 어느 酵素을 使用하는 것이 가장 적당한가를 잘 나타내 준다. 따라서 菌分類에 있어서는 菌을 잘 구정지울 수 있는 酵素 pattern 을 찾는 것이 先行되어져야 한다.

Bonde 等(2)은 옥수수·노란病菌 *Peronosclerospora* spp. 에서 形態的으로 分類하기 어려운 것을 電氣泳動法을 利用하여 分類하였고, Burdon 과 Roelfs(3)는 밀·녹병菌 *Puccinia graminis* 에서 病原性이 다른 菌株間에는 同位酵素 pattern 도 다르다고 하였다. 또한 Lee 等(10)은 밤나무·후밀 *Dryocosmus kuriphilus* 에서 在來種 밤나무에 기생하는 후밀과 改良種 밤나무에 기생하는 후밀間에는 同位酵素의 形態에 차이가 난을 報告하였다.

電氣泳動法에 의하여 고추 炭疽病菌 *C. gloeosporioides* 的 G 와 R-strain 에 protein 과 同位酵素 pattern 에 차이가 發見되었다는 사실과 R-strain 内의 약간의 病原性을 달리하는 菌株間에도 미세한

同位酵素 pattern 에 차이가 낸음을 種의 分類와 더불어 race 및 fomae specialis 分類에도 가능성을 제시해 준다. 따라서 菌의 分類에 있어서 病原菌의 정확한 生理·生化學的인 特性과 함께 電氣泳動法을 利用한다면 보다 정확성을 기할 수 있을 것이다.

謝辭

電氣泳動을 수행하는데 도움을 주신 Prof. Dr. H. Stagemann 教授님(Institut für Biochemie, Biologische Bundesanstalt, Messeweg 11, D-3300 Braunschweig, W-Germany)께 感謝 드립니다.

参考文獻

1. BAPTIST, J. N. & KURTZMAN, C. P. (1976). Comparative enzyme patterns in *Cryptococcus laurentii* and its taxonomic varieties. *Mycologia* 68: 1195-1203.
2. BONDE, M. R., PETERSON, G. L., DOWER, W. M. & MAY, B. (1984). Isozyme analysis to differentiate species of *Peronosclerospora* causing downy mildew of maize. *Phytopathology* 74: 1278-1283.
3. BURDON, J. J. & ROELFS, A. P. (1985). Isozyme and virulence variation in asexually reproducing population of *Puccinia graminis* and *P. recondita* on wheat. *Phytopathology* 75: 907-913.
4. CHUNG, B. K. & CHANG, S. W. (1984). An etiological study on the anthracnose fungus of pepper caused by *Colletotrichum dematum* in Korea. *Korean J. Mycol.* 12: 153-157.
5. GEBRILL, O. (1971). Locating enzyme on gels. *Methods in Enzymology* 22: 578-604, Academic Press, New York and London.
6. GILL, H. S. & POWELL, D. (1968a). Polyacrylamide gel(disc) electrophoresis of physiological races A-1 to A-8 of *Phytophthora fragariae*. *Phytopathology* 58: 722-723.
7. GREEN, R. L., DUDECK, A. E., HANNAH, L. C. & SMITH, R. L. (1981). Isozyme polymorphism in St. Augustinegrass. *Crop Science* 21: 778-782.

8. HALL, R., ZENTMYER, G. A. & ERWIN, D. C. (1969). Approach of taxonomy of *Phytophthora* through acrylamide gel electrophoresis of proteins. *Mycologia* 59: 770-774.
9. 金完圭·趙義奎·李銀鍾(1986). 고추炭疽病菌 *Colletotrichum gloeosporioides* Penz. 의 2系統 韓植病誌 2(2): 107-113.
10. LEE, K. R., LEE, J. J. & SHIN, B. S. (1985). Studies on the ecotype of the chestnut gall wasp, *Dryocosmus kuriphilus* YASUMATSU. *Korean J. Ent.* 15: 77-85.
11. LOWRY, O. H., ROSEBOROUGH, A. L., FARR, A. L. & RANDALL, R. J. (1951). Protein measurement with the Folin reagent. *J. Biol. Chem.* 193: 265-275.
12. NEALSON, K. H. & GARBER, E. D. (1976). An electrophoretic survey of esterases, phosphatases and leucine aminopeptidases in mycelial extracts of species of *Aspergillus*. *Mycologia* 59: 330-336.
13. PELLETIER, G. & HALL, R. (1971). Relationships among species of *Verticillium*: Protein composition of spores and mycelium. *Can. J. Bot.* 49: 1293-1297.
14. SINDER, R. D. & KRAMER, C. L. (1974). An electrophoretic protein analysis and numerical taxonomic study of the genus *Taphrina*. *Mycologia* 66: 754-772.
15. STEGEMANN, H., BERGEMEISTER, W., FRANCKSEN, H. & KRÖGERRECKLENFORT, E. (1985). Gel electrophoresis and Isoelectric focusing. Chapter 3. Standard Electrophoresis (PAGE). *Institut für Biochemie, Biologische Bundesanstalt, Messeweg 11, D-3300 Braunschweig (West Germany)*
16. STOUT, D. L. & SHAW, C. R. (1974). Genetic distance among certain species of *Mucor*. *Mycologia* 66: 967-977.
17. 山本和太郎(1960). 日本産の炭疽病菌の種名と属名の改変. 植物防疫 14: 49-52.